

에르ליך 복수암에 있어서 C^{14} -초산염 대사

서울대학교 의과대학 생리학교실

정 원 근 · 이 상 돈

=Abstract=

Metabolism of C^{14} -acetate in the Ehrlich ascites tumor

Won Kun Chun, and Sang Don Rhee

Department of Physiology, College of Medicine, Seoul National University

Seoul, Korea

Tissue homogenates of Ehrlich ascites tumor tissues and several normal tissue of mice were incubated separately in medium maintaining C^{14} -acetate concentrations of 5, 10, 20, 30, 40, 50 and 60 mg%, in order to determine maximum oxidative rates of acetate. In every inoculation experiments, respiratory CO_2 samples trapped by alkaline which was placed in the center well of the incubation flask were analyzed for total CO_2 production rates and their radioactivities.

The fractions of CO_2 from medium acetate to total CO_2 production rate were obtained with relative specific activities (RSA) which were calculated by ratio between specific activities (SA) of CO_2 and medium C^{14} -acetate and CO_2 production rates from medium acetate were calculated from RSA and total CO_2 production rates.

Maximum plateau values of oxidative rates described above were determined at incubation experiments of various concentrations of medium acetate and compared the oxidative rates of acetate of tumor with those of normal tissues such as kidney, brain and liver.

Maximum plateau values of total CO_2 production rates were obtained at acetate concentration of 20 mg% and represent $25.0 \pm 0.54 \mu M/hr/gm$ in the brain, 16.3 ± 2.5 in the kidney, 9.1 ± 1.78 in the liver and $11.5 \pm 3.2 \mu M/hr/gm$ in the ascites tumors. Substancial CO_2 yield was observed in the tumor tissues as in the normal tissues. On the other hand, plateau values of RSA were $25.7 \pm 1.04\%$ in the brain, $9.1 \pm 0.72\%$ in the kidney, $2.5 \pm 0.73\%$ in the liver and $0.51 \pm 0.12\%$ in the tumor tissues. CO_2 yields from the medium acetate, were 4.19 in the kidney, 2.28 in the brain, 0.228 in the liver and $0.059 \mu M/hr/gm$ in the tumor tissue. These show wide range even in the normal tissue but remarkable decrease in the tumor tissue. This fact means that further oxidation of acetate was inhibited remarkably in the tumor tissue.

서 론

일반적으로 종양조직의 합수탄소대사를 정상조직과 비교하면 현저한 차이점의 하나로서 젖산축적을 들 수 있다. 즉 유기성 환경하에서도 무기성 환경하에서와 같이 젖산생성이 정상조직과는 달리 증가 될이 특징인 것이다. Greenstein¹⁾에 의하면 14종의 종양조직에서 유

기성환경하의 젖산생산율을 Warburg^{2,3,4,5)}등의 방법으로 측정한 바 $Q_L^{14}(ul of CO_2/mg of dry weight)$ 는 6~24이며 그중 10종의 값은 10 이상이며 남아지 4종의 값도 6~9이라고 하였다. 한편 정상조직의 값은 모두 3이하이며 비교적 무기적환경하에서 성장하는 태아조직에서도 평균 6이었다.

정상조직에서는 일반적으로 젖산이 에너지원으로 이

용됨으로 동맥 젖 산농도가 정맥농도보다 항상 높은 값을 보이나 종양조직에서는 관류정맥혈의 젖 산농도가 동맥혈보다 높다는 점⁶⁾으로 보아 상당한 양의 젖 산이 종양조직에서 생산됨을 볼 수 있었다. 이러한 현상은 조직학적 소견 즉 종양조직에는 일반적으로 혈관분포가 적고 혈액순환이 느리다는 점^{2, 8)}으로 보아 순환장애로 인한 산소공급 결핍 때문에 초래되는 현상이라고 설명하였으나 차후 여러 실험을 통하여 당산화억제로 인한 생화학적 원인을 구명하게 되었다. 특히 Busch 등^{9, 10)}은 종양조직을 이식한 동물에 C^{14} -포도당을 주입한 후 TCA cycle의 중간대사물질을 chromatography로 분리하여 중간대사물질의 방사능을 측정한 바 다른 정상조직의 값에 비하여 현저히 저하되었고 대부분의 방사능이 젖 산에 함유됨을 발견하고 젖 산 축적은 당산화억제로 인한 현상이라고 주장하였다.

본 교실에서는 이러한 암조직에 있어서의 당의 대사변조를 계통적으로 또는 산화경로를 분석하기 위하여 아래와 같은 실험을 통하여 당산화의 억제점을 구명하고자 노력하였다. 첫째 동물실험으로서 권등¹¹⁾이 관찰한 바와 같이 에르ליך 흑수암 균등액을 C-1 및 C-6 포도당과 배양하였을 때 포도당에서 유래된 CO_2 발생이 현저히 저하되었고 Bloom¹²⁾등의 원리에 따라 당산화경로를 분석한 바 포도당에서 유래된 대부분의 CO_2 는 hexose monophosphate pathway (H.M.P) 경로를 밟아 산화되고 기본적 당산화경로인 Embden Meyerhoff 및 TCA cycle(EMP-TCA)을 통한 CO_2 발생은 포도당에서 유래된 CO_2 발생의 7%에 불과하였음으로 TCA와 같은 산화경로가 현저히 억제됨을 증명하였다. 둘

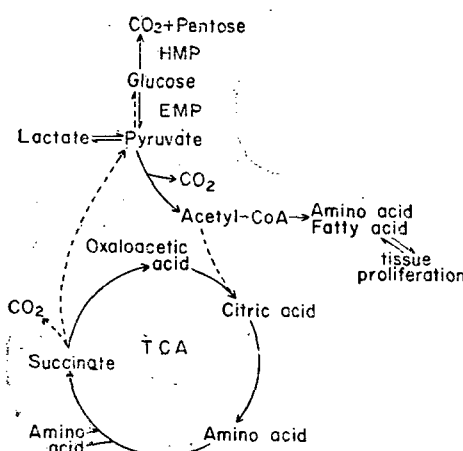


Fig. 1. Catabolic pathway of glucose in tumor tissue. —actual oxidative pathway
..... inhibited pathway

째로 문동¹³⁾은 산화경로의 억제점을 구명하기 위하여 에르ליך 흑수암 균등액을 C^{14} -1, C^{14} -2, 및 C^{14} -3-젖 산용매와 따로 배양하여 젖 산 각탄소에서 유래되는 CO_2 발생을 개별적으로 측정한 바 총 CO_2 발생의 14%가 젖 산의 C-1 탄소에서 유래되었으나 젖 산의 C-2 및 C-3 탄소부터의 CO_2 발생은 1% 이내로 현저히 억제됨을 보았다.

이상과 같은 실험성적은 Waker 253 세포암에서 구등¹⁴⁾이 관찰하였고 11종의 인체 암조직에서도 정도의 차이는 있었으나 암조직의 공통적인 특징으로서 관찰할 수 있었다.^{15, 16)} 따라서 본교실에서는 이상과 같은 실험성적을 종합하여 다음과 같은 당의 산화경로를 예상케 하였다.

즉 그림 1에서 보는바와 같이 당은 암조직에서 쉽게 HMP 경로를 통하여 포도당의 C-1 탄소가 CO_2 로 산화되고 일방 EMP의 염기성 대사경로를 통하여 3탄화합물로 분해된 후 3탄화합물의 C-1 탄소는 oxydative deearboxylation을 받아 CO_2 와 2탄화합물로 분해되지만 남아지 2탄화합물의 TCA cycle로의 incorporation이 억제됨을 예상케 하였다.

본 실험은 2탄화합물의 TCA cycle로의 incorporation의 억제현상을 직접 관찰하기 위하여 C^{14} -acetate을 이용하여 에르ליך 흑수암과 배양하였을 때 $C^{14}O_2$ 발생을 측정하여 정상조직과 비교함으로서 위 그림과 같은 암조직의 산화경로를 확고히 증명하고자 시도하였다.

실험 방법

1. 실험재료

에르ליך 흑수종양 생쥐의 복수를 생쥐허리피부에 약 0.1 ml 주입한 후 1주내지 2주에 이식된 흑수종양이 육안으로 직경 1 cm 이상으로 성장된 생쥐를 선택하여 사용하였다.

매 실험에서 생쥐 10마리의 복수 종양조직을 같이 혼합하여(pooling) 사용하였다. 동물을 단두로 회생시켜 종양조직을 죽출하고 암조직 중심부에 생긴 피사조직은 제거하고 정확히 중량을 측정한 후에 10마리의 복수암조직을 같이 혼합하여 Krebs-Ringer-phosphate 완충용액(PH 7.4)을 첨가하여 glass homogenizer로 30 ml의 조직균등액을 만들어 다시 5 cc 씩 6등분하여 C^{14} -acetate 저장용액을 첨가 균등액내 C^{14} -acetate 농도를 5, 10, 20, 30, 40, 50 mg%로 하여 배양하였다.

대조실험으로서 같은 생쥐에서 죽출한 대뇌 콩팥 및 간 등 정상조직을 같은 방법으로 pooling하여 균등액

을 만든 다음 6 등분하여 서로 다른 농도를 유지하는 C^{14} -acetate 배지에 배양하였다.

2. C^{14} -acetate 배지

C^{14} -acetate 저장용액은 acetate-1- C^{14} 0.1 mc에 비방사성 초산염을 첨가 K-R-P 용액으로 희석하여 100 cc로 만들어 C^{14} -초산염농도를 100 mg% 가 되도록 하여 사용하였다.

매실험마다 암조직 및 대조경상조직 균등액의 초산

제 1 표 각 조직균등액의 초성

배지초산염농도(mg%)	5	10	20	30	40	50
조직균등액용적(cc)	5	5	5	5	5	5
첨가 C^{14} -acetate 저장용액의 용적(cc)	0.5	1	2	3	4	5
K-R-P 용적(cc)	4.5	4	3	2	1	0
최종조직균등액용적(cc)	10	10	10	10	10	10

염농도를 달리하여 배양하기 위하여 제 1 표와 같이 C^{14} -acetate 저장용액을 6 등분한 조직균등액에 첨가하고 최종용적을 10 cc로 만들어 배양하였다. 이때 배지 C^{14} -acetate의 specific activiry(SA)는 저장용액의 값과 같고 30,667 cpm/mc^o였다.

3. 일반실험조작

10 마리의 에르릿히 복수암생쥐의 암조직 및 정상조직을 약 5~10 gm 씩 적출한 직후 전기한 바와 같이 K-R-P 용액을 첨가 하면서 glass homogenizer로 30 cc의 조직균등액으로 만든 다음 5 cc 씩 6 등분하여 제 1 표에서 보는바와 같이 C^{14} -acetate 저장용액을 넣어 균등액내 초산염농도를 조절하고 최후 균등액용적을 10 cc로 만들어 따로 배양하였다.

균등액 배양실험에는 50 cc Erlenmeyer flask 밀린 중간에 직경 1 cc 높이 2 cm의 유리관을 부착시킨 배양기를 사용하였다. 호흡 CO_2 를 채취하기 위하여 배양기 중심관에 CO_2 free 2 N NaOH 1 ml를 넣고 중심관 주위에 조직균등액을 넣어 고무마개로 밀봉하고 38°C로 유지된 항온조(Dubnuff metabolic shaking incubator)에서 1 분에 60 회정도의 좌우진탕을 하면서 3 시간 동안 양배하였다.

3 시간 후 배양기를 항온조에서 꺼내어 냉장고에 하루밤 방치하여 조직에서 유리된 CO_2 흡수를 완전케 한 다음 중심관으로 부터 CO_2 를 흡수한 NaOH 용액 즉 Na_2CO_3 시료를 될 수 있는한 공기와의 접촉을 차단하여 주사기로 꺼내어 총 CO_2 발생율 및 호흡 CO_2 의 방사

능을 측정하였다.

4. 화학조작 및 방사능 측정법

총 CO_2 생산율 측정에는 배양기 중심관에서 채취한 Na_2CO_3 시료를 0.3 N Ba_2Cl_2 로서 Whatman No. 542 여과지 위에 $BaCO_3$ 로 정량적으로 침전시켜 건조시킨 후부계를 정확히 측정하고 이를 $BaCO_3$ 의 분자량으로 나누어 총 CO_2 발생율을 계산하였다.

호흡 CO_2 의 방사능측정에는 $BaCO_3$ 침전표본을 그대로 사용하여 endwindow-Geiger Müller counter로 방사능을 측정하여 $BaCO_3$ 표본중의 탄소량으로 나누어 SA를 계산하여 cpm/mgC으로 표시하였다. 배지 acetate의 SA 측정은 C^{14} -acetate 저장용액 1 cc 을 Van Slyke-Folch²⁰의 총 CO_2 분해장치를 사용하여 모두 CO_2 로 완전산화시켜 이를 다시 $BaCO_3$ 로 침전시킨 다음 Geiger Müller counter로 총계수를 측정하고 $BaCO_3$ 의 탄소량으로 계하여 SA를 cpm/mg C로 표시하였다. $BaCO_3$ 를 이용한 방사능측정은 모두 자기흡수에 대한 보정을 하여 비교하였다.

5. 계산방법

총 CO_2 발생율은 호흡 CO_2 를 $BaCO_3$ 로 침전시킨 다음 $BaCO_3$ 을 정확히 평량하여 $BaCO_3$ 의 분자량, 배양시간 및 균등액내 조직부계로 나누어 uM/hr/gm로 표시하였다.

조직에서 발생한 CO_2 의 SA와 배지 acetate의 SA와의 비로 acetate에서 유래된 CO_2 발생의 총 CO_2 발생에 대한 분률 즉 relative specific activity (RSA)을 계산하였다.

Acetate에서 유래된 CO_2 발생율은 총 CO_2 발생율에 RSA 값을 곱하여 산출하였다.

실험성적

배지 C^{14} -acetate의 방사능을 일정하게 유지하고 acetate 농도를 5, 10, 20, 30, 40, 50 mg%로 달리하여 에르릿히복수암 및 같은 생쥐에서 적출한 대뇌, 콩팥 및 간조직을 각각의 농도에서 3 시간 배양하였을 때 총 CO_2 생산율, RSA 및 acetate에서 유래된 CO_2 발생율을 측정하여 에르릿히복수암의 산화능을 정상 대조조직의 값과 비교한 바 다음과 같다.

첫째 총 CO_2 생산율은 대뇌조직에서 5 mg% · acetate 농도에서 18.1±1.55 uM/hr/gm이며 10 mg%에서 21.2±0.47, 20 mg%에서 23.5±2.11, 30 mg%에서 25.2±1.80, 40 mg%에서 23.7±2.04, 50 mg%에서

$25.0 \pm 0.54 \mu\text{M}/\text{hr/gm}$ 로 10 mg\% 이상의 acetate 농도에서는 배지 농도증가와 관계없이 비교적 일정한 값을

Table 2. Conversion of acetate into respiratory CO_2 in brain

Medium conc. of acetate (mg%)	Number of case	Total CO_2 production rate ($\mu\text{M}/\text{hr/gm}$)	RSA (%)	CO_2 from acetate ($\mu\text{M}/\text{hr/gm}$)
5	7	18.1 ± 1.55	3.1 ± 0.43	0.56
10	8	21.2 ± 0.47	4.4 ± 0.67	0.93
20	9	23.5 ± 2.11	6.8 ± 0.73	1.58
30	9	25.2 ± 1.80	8.1 ± 1.01	2.04
40	8	23.7 ± 2.04	8.4 ± 0.11	1.99
50	9	25.0 ± 0.54	9.1 ± 0.72	2.28

보였다(제 2 표). 콩팥에서는 5 mg\% 초산염 농도에서 12.4 ± 1.54 , 10 mg\% 에서 11.5 ± 0.92 , 20 mg\% 에서 4.6 ± 1.28 , 30 mg\% 에서 14.0 ± 0.46 , 40 mg\% 에서 15.2 ± 1.63 , 50 mg\% 에서 $16.3 \pm 2.50 \mu\text{M}/\text{hr/gm}$ 로 농도증가에 따라 총 CO_2 생산율이 상승하고 20 mg\% 이상의 acetate 농도에서는 비교적 일정한 평탄값을 보였다(제 3 표). 간조직에서는 5 mg\% acetate 농도에서 5.0 ± 1.21 이며 역시 배지농도 증가에 따라 CO_2 생산

Table 3. Conversion of acetate into respiratory CO_2 in Kidney

Medium conc. of acetate (mg%)	Number of case	Total CO_2 prod rate ($\mu\text{M}/\text{hr/gm}$)	RSA (%)	CO_2 from acetate ($\mu\text{M}/\text{hr/gm}$)
5	8	12.4 ± 1.54	9.2 ± 1.86	1.14
10	9	11.5 ± 0.92	13.3 ± 0.36	1.53
20	10	14.6 ± 1.28	23.3 ± 2.44	2.40
30	9	14.0 ± 0.46	27.3 ± 4.63	3.82
40	9	15.2 ± 1.63	28.3 ± 2.07	4.30
50	8	16.3 ± 2.50	25.7 ± 1.04	4.19

율이 증가하고 20 mg\% 이상의 농도에서 8 내지 $9 \mu\text{M}/\text{hr/gm}$ 의 최대 평탄값을 보였다(제 4 표). 에르ליך 복수암의 총 CO_2 생산율은 5 mg\% 초산염 농도에서 $5.2 \pm 1.1 \mu\text{M}/\text{hr/gm}$ 이며 타조직에서와 같이 농도증가에 따라 급격히 증가하여 20 mg\% 초산염 농도에 이르러 평탄값을 보이기 시작하고 최대평탄값은 $11.5 \pm 3.2 \mu\text{M}/\text{hr/gm}$ 였다. 총 CO_2 생산율을 각조직의 최대평탄값을 기준으로하여 비교하면 조직에 따라 차이가 있으나 현저한 차이는 볼수 없었고 특히 암조직에서 산화대사가 정상조직에 비하여 현저히 억제된 양상을 볼수 없었다.

Table 4. Conversion of acetate into respiratory CO_2 in liver

Medium conc. of acetate (mg%)	Number of case	Total CO_2 Prod. rate ($\mu\text{M}/\text{hr/gm}$)	RSA (%)	CO_2 from acetate ($\mu\text{M}/\text{hr/gm}$)
5	5	5.0 ± 1.21	0.9 ± 0.11	0.045
10	9	5.2 ± 0.92	0.9 ± 0.22	0.047
20	8	8.1 ± 1.07	1.6 ± 0.67	0.130
30	7	8.3 ± 1.29	1.8 ± 1.23	0.149
40	9	8.7 ± 1.37	2.4 ± 0.30	0.209
50	8	9.1 ± 1.78	2.5 ± 0.73	0.228

Table 5. Conversion of acetate into respiratory CO_2 in ascites tumor

Medium conc. of acetate (mg%)	Number of case	Total CO_2 Prod. rate ($\mu\text{M}/\text{hr/gm}$)	RSA (%)	CO_2 from acetate ($\mu\text{M}/\text{hr/gm}$)
5	9	5.2 ± 1.1	0.29 ± 0.08	0.015
10	11	8.1 ± 2.1	0.35 ± 0.07	0.028
20	7	11.5 ± 2.3	0.38 ± 0.05	0.044
30	8	10.8 ± 2.7	0.47 ± 0.08	0.050
40	10	11.7 ± 2.9	0.48 ± 0.10	0.056
50	10	11.5 ± 3.2	0.51 ± 0.12	0.059

초산염에서 유래된 CO_2 발생의 총 CO_2 생산율에 대한 분율 즉 RSA 값을 보면 총 CO_2 발생율에서와 같이 배지초산염 농도 증가에 따라 급격히 상승하고 30 mg\%

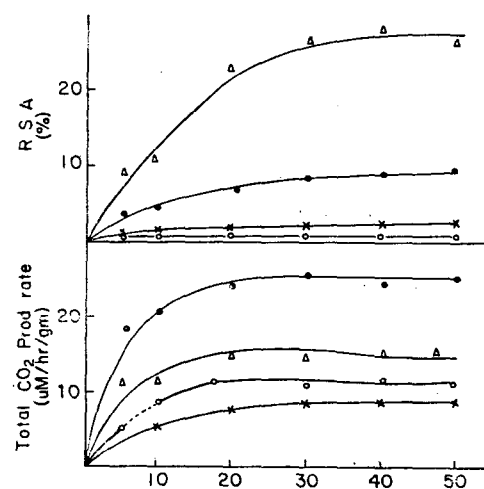


Fig. 2. Medium concentration of acetate (mg%) Conversion of acetate into CO_2 in various tissues

○—○: tumor, ×—×: liver,
△—△: kidney, ◎—◎: brain

내외의 농도에서 최대 평탄값을 보였다(제 2 도 참조). 최대평탄값을 기준으로 한 각조직의 RSA 값은 제 6 표에서 보는 바와 같이 콩팥에서 25.7 ± 1.04 , 대뇌조직에서 9.1 ± 0.72 , 간에서 $2.5 \pm 0.73\%$ 인데 비하여 에르ליך 히복수암에서는 현저히 저하되어 $0.51 \pm 0.12\%$ 에 불과하였다. 즉 복수암에서 호흡 CO_2 로의 산화과정에 초산염의 이용도가 현저히 억제됨을 볼 수 있었다.

초산염에서 유래된 CO_2 발생율을 총 CO_2 생산율과 RSA 값으로부터 산출하여 비교한 바 제 3 도에서 보는 바와 같이 각조직에서 배지 초산염농도 40 mg\% 까지

Table 6. Maximum Oxidative rates of acetate in various tissues, CO_2 SA acetate

Tissue	Total CO_2 Prod rate ($\mu\text{M}/\text{hr}/\text{gm}$)	RSA (%)	CO_2 from acetate ($\mu\text{M}/\text{hr}/\text{gm}$)
Tumor	11.5 ± 3.2	0.51 ± 0.12	0.059
Liver	9.1 ± 1.78	2.5 ± 0.73	0.228
Brain	25.0 ± 0.54	9.1 ± 0.72	2.28
Kidney	16.3 ± 2.50	25.7 ± 1.04	4.19

는 농도 증가에 따라 상승하고 40 mg\% 이상의 농도에서 평탄값을 이루게 되고 최고평탄값을 기준으로 하여 각조직 및 복수암의 초산염으로부터 유래된 CO_2 발생율을 보면 제 6 표에서 보는 바와 같이 콩팥에서 최고로 4.19, 대뇌에서 2.28, 간에서 $0.228 \mu\text{M}/\text{hr}/\text{gm}$ 이며 복수암에서는 $0.059 \mu\text{M}/\text{hr}/\text{gm}$ 로 콩팥값의 약 70

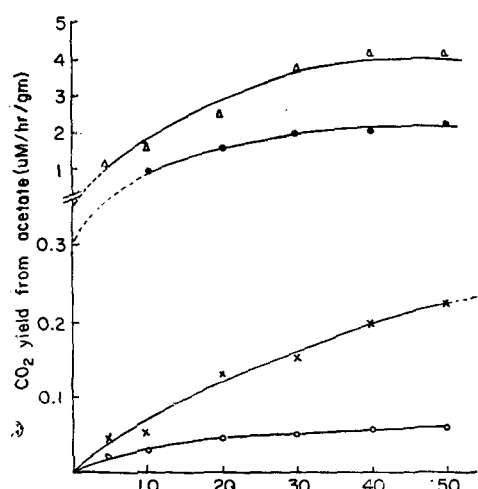


Fig. 3. Relation between CO_2 yield from acetate and medium concentration of acetate
 ○—○: tumor, ×—×: liver,
 △—△: kidney, ●—●: brain

분의 1, 대뇌값의 약 40분의 1, 간의 약 4분의 1 값에 불과하였다.

이상 성적을 종합하면 생체 각조직의 산화능력은 각조직에 따라 차이가 있으나 암조직에서 현저히 저하된 증거는 없었다. 그러나 초산염의 호흡 CO_2 로의 산화과정에서 암조직의 RSA 값 및 초산염에서 유래된 CO_2 발생율이 정상조직에 비하여 월등히 저하된 것으로 보아 초산염의 산화가 암조직에서 현저히 억제됨을 증명할 수 있었다.

고 칠

각조직의 호흡 CO_2 로의 산화과정은 총 CO_2 생산율에서 보는 바와 같이 조직에 따라 현저한 차이가 있으며 대뇌, 콩팥, 간의 순으로 총 CO_2 발생이 저하 하였다는 점으로 보아 조직활동율에 비례하여 총 CO_2 발생율이 증가하는 경향을 보였다. 에르ליך 히복수암의 총 CO_2 발생율은 정상조직의 최저값을 보이는 간의 값과 비등한 점으로 보아 전체적인 산화대사는 정상조직에 비하여 큰차이가 없음을 지적할 수 있었다.

본 실험에 있어서 배지내 기질은 초산염 뿐이므로 이론적으로 호흡 CO_2 의 RSA 값은 100%임을 예상하였으나 고농도의 초산염에서도 대뇌에서 9.1%, 콩팥에서 25.7%, 간에서 2.5%, 복수암에서 0.51%의 최대 평탄값을 얻었을 뿐이다. 따라서 암조직뿐만 아니라 정상조직에서도 초산염이 의 다른 기질이 산화대사에 크게 관여함을 보았다. 특히 복수암에 있어서 RSA 값이 1% 미만이라는 점은 정상조직에 비하여 초산염의 Krebs cycle을 통한 CO_2 로의 산화분해가 현저히 억제됨을 의미한다. 특히 배지 초산염에서 유래된 CO_2 발생율은 정상조직에 비하여 현저히 저하되었고 호흡 CO_2 발생에 초산염이 전혀 이용되지 않은 인상을 주었다.

일반적으로 생체내 당의 산화경로는 포도당이 EMP 경로를 통하여 3 탄화합물로 분해한 다음 oxydative decarboxylation을 입어 2 탄화합물 즉 acetate unit 가 되고 이는 다시 oxaloacetic acid와 citric acid를 형성하여 Krebs cycle을 통하여 CO_2 로 완전 산화되는 경로와 당의 C-1 탄소가 우선적으로 CO_2 로 산화되는 HMP 경로를 들 수 있는 바, 서론에서 논의 한 바와 같이 암조직에서 공통적으로 당의 산화가 억제 된다는 사실을 계통적으로 분석하면

첫째 당에서 유래된 CO_2 의 대부분이 HMP 경로를 밟아 유래되고 EMP-TCA 경로를 통한 CO_2 발생은 당에서 유래된 총 CO_2 발생의 7%에 불과하다는 전등¹⁴⁾의 실험성적으로 보아 HMP 경로의 억제작용을 볼 수

없었다.

둘째로 EMP-TCA 경로를 보면 오래전에 Warburg^{2,3,4)} 등이 발견 한 바와 같이 젖산축적이 암조직에서 증가한다는 점으로 보아 염기성해당경로 즉 EMP 경로는 쉽게 이루워져 당은 젖산과 같은 3탄화합물로 분해 되고 다음 oxydative decarboxylation을 입어 3탄화합물의 C-1 탄소 즉 carboxyl 기, 탄소는 쉽게 산화되어 CO_2 로 분해된다는 사실을 문등¹⁶⁾에 의하여 밝힌바 있다. 따라서 암조직에 있어서 당이 2탄화합물로 분해 할때 까지는 정상조직과 다름없이 이루워짐을 계통적인 실험에서 밝힐 수 있었다. 즉 암조직에 있어서의 당산화의 억제점은 2탄화합물이하의 어느 단계에서 이루어 위점은 의심할바 없음으로 제 1도와 같은 암조직의 당의 산화경로를 문등¹⁶⁾이 제창 하였다. 본실험은 이 모형도를 재확인하기 위하여 2탄화합물인 C^{14} -초산염을 직접 이용하여 각종 정상조직을 대조로 하여 초산염의 호흡 CO_2 발생을 양적으로 측정 비교한 바 복수암에서 초산염에서 유래된 CO_2 발생율은 대뇌의 약 70분의 1 콩팥값의 약 40분의 1. 정상조직에서 가장 낮은 값을 보이는 간의 값의 약 4분의 1로 현저히 저하됨을 보였음으로 암조직에 있어서 당의 산화는 제 1도와 같이 조직의 최종산화공통로인 Krebs cycle에서 현저히 억제됨을 재확인 할수 있었다.

총 팔

에르ליך 복수암 및 같은 생쥐에서 적출한 정상조직 죽 대뇌, 콩팥 및 간조직을 균등액으로 만들어 C^{14} -초산염배지와 배양 하였을때 총 CO_2 생산율, 배지 C^{14} -초산염에서 유래된 CO_2 발생율을 측정하여 암조직의 산화과정을 정상여러조직의 산화과정과 비교하였다. 각 조직에 있어서 초산염의 최대산화능력을 결정하기 위하여 여러 초산염농도에 같은 조직을 배양하고 최대평탄값을 얻은 다음 최대 평탄값을 기준으로하여 비교관찰하였다.

첫째 총 CO_2 발생율을 보면 각조직에서 최대평탄값은 배지초산염농도 20mg% 내외에서 볼수 있었고 대뇌에서 최고로 25.0 ± 0.54 , 콩팥에서 16.3 ± 2.5 , 간에서 9.1 ± 1.78 , 복수암에서 11.5 ± 3.2 uM/hr/gm의 평탄값을 얻었다. 즉 암조직에서 간의 값과 비등한 점으로 보아 암조직에서 전체적인 산화대사는 억제된 증거를 볼수 없었다.

둘째로 초산염에서 유래된 CO_2 발생의 총 CO_2 생산율에 대한 분율 즉 RSA 값은 각조직에서 약 30~40mg% 초산염배지에서 최대 평탄값을 보였고 콩팥에서 25.7

± 1.04 대뇌에서 9.1 ± 0.72 , 간에서 $2.5 \pm 0.73\%$ 로 정상조직에서 상당한 양의 초산염이 호흡 CO_2 로 이용되었으나 복수암에서 $0.51 \pm 0.12\%$ 로 초산염의 호흡 CO_2 로의 이용율이 현저히 저하 되었다.

셋째로 초산염으로 부터의 CO_2 발생율은 콩팥에서 4, 19, 대뇌에서 2.28, 간에서 0.228, 복수암에서 0.059 uM/hr/gm로 역시 암조직에서 현저히 저하 되었다.

이상과 같은 실험성적으로 암조직에 있어서 당산화의 억제작용은 2탄화합물의 TCA 경로로의 incorporation이 억제되어 발생하는 현상임을 입증할수 있었다.

REFERENCES

- 1) Greestein, J.P.: "Biochemistry of Cancer" New York Academic press, 1954,
- 2) Warburg, O.: "Metabolism of Tumors" New York, Smith, 1931.
- 3) Warburg, O.: On the origin of cancer cells. Science 123:309, 1956.
- 4) Warburg, O., Pasener, K., and Negelein, E.: Über den Stoffwechsel der Carcinomzelle. Biochim. Z., 152:809, 1924.
- 5) Warburg, O., Wind, F., and Negelein E.: Über den Stoffwechsel von Tomoren in Körper. Klin. Wochschr. 5:829, 1926.
- 6) Busch, H.: "Biochemistry of cancer cell" Acad. press, New York. London, pp. 318, 1962.
- 7) Algire, G.H., and Chalkley, H.W.: Vascular reactions of normal and malignant tissues in vivo. I. Vascular reactions of mice to wounds and normal and neoplastic transplants. J. Nat'l. Cancer Inst. 6:73, 1945,
- 8) Tannenbaum, A.: The cancer investigator, an evalutio. Cancer Research, 17:547, 1957,
- 9) Busch, H., Fujiwara, E., and Leer, L.M.: Metabolic patterns for glucose-1- C^{14} in tissues of tumor bearing rats. Cancer Research, 20:50, 1960.
- 10) Busch, H., Hurlber., R.B., and Potter, V.R.: Anion exchange chromatography of acids of the citric acid cycle. J. Biol. Chem.. 196-717, 1952.
- 11) Kwon C.R.: Metabolism of $C^{14}-1$ -glucose and $C^{14}-6$ -glucose by the Ehrlich Ascites tumor tissue Korean Journal of Physiology, 1:38, 1967.
- 12) Bloom, B., Stetten M.R. and Stetten, D.: evalu-

- ation of catabolic pathways of glucose in mammalia system. *J. Biol. Chem.* 204:681, 1953.
- 13) Moon, I.S., and Rhee, S.D.: Catabolic pathway of oxidative metabolism of carbon atoms of lactate in the Ehrlich Ascites tumor. *The Seoul J. of Med.* 7:93, 1966.
- 14) Ku, C. H. and S.D. Rhee.: Oxidative metabolism of C^{14} -glucose and C^{14} -lactate in the Walker 256 tumor, *Seoul J. Med.* 9:1, 1968.
- 15) Lee, B.K. and S.D. Rhee.: Oxidative pathway of C^{14} -glucose in various human cancer Korean *J. physiol.*, 2:23, 1968.
- 16) Lee, C.H., and S.D. Rhee.: Oxidative metabolism of C^{14} -lactate in various human cancer tissues, *Korean J. Physiol.*, 3:11, 1968.